

اثر متقابل ژنوتیپ × محیط و بررسی پایداری عملکرد دانه در ژنوتیپ‌های گندم نان در مناطق گرم و خشک جنوب ایران

Genotype × Environment Interaction and Stability of Grain Yield of Bread Wheat Genotypes in Dry and Warm Areas of Iran

محسن اسماعیلزاده مقدم^۱، مهدی زکیزاده^۲، حسین اکبری مقدم^۳،
محمد عابدینی اسفهانی^۴، منوچهر سیاح‌فر^۵، احمد رضانیکزاده^۶،
سید محمود طبیب‌غفاری^۷ و غلامعباس لطفعلی آینه^۸

۱- استادیار، موسسه تحقیقات اصلاح و تهیه نهال و بذر، کرج

۲- دانشجوی سابق کارشناسی ارشد اصلاح نباتات، دانشگاه آزاد اسلامی، واحد کرمانشاه

۳- مریبی، به ترتیب مرکز تحقیقات کشاورزی و منابع طبیعی سیستان (زابل)، سمنان (شهرود)،
لرستان (خرم‌آباد)، فارس (زرقان)، دزفول (صفی‌آباد) و خوزستان (اهواز)

تاریخ دریافت: ۱۳۸۹/۵/۳ تاریخ پذیرش: ۱۳۸۹/۱۱/۲۸

چکیده

اسماعیلزاده، م.، زکیزاده، م.، اکبری مقدم، ح.، عابدینی اسفهانی، م.، سیاح‌فر، ا. ر.، طبیب‌غفاری، س. م.، و لطفعلی آینه، غ.
۱۳۹۰. اثر متقابل ژنوتیپ × محیط و بررسی پایداری عملکرد دانه در ژنوتیپ‌های گندم نان در مناطق گرم و خشک جنوب ایران. مجله بهنژادی نهال و بذر
۲۵۷-۲۷۳:۳۷-۱

برای تعیین پایداری عملکرد در ارقام و لاینهای گندم نان ویژه مناطق گرم و خشک کشور، ۱۸ لاین در قالب طرح بلوک‌های کامل تصادفی در سه تکرار همراه با یک رقم شاهد (چمران) در شش ایستگاه تحقیقاتی مناطق گرم جنوب کشور شامل اهواز، زابل، دزفول، داراب، ایرانشهر و خرم‌آباد و در دو سال زراعی (۱۳۸۴-۸۶) مورد ارزیابی قرار گرفتند. نتایج نشان داد که اثر متقابل سال × مکان و سال × مکان × ژنوتیپ به ترتیب در سطوح احتمال ۱ درصد و ۵ درصد معنی دار بودند. بر اساس نتایج تجزیه پایداری عملکرد دانه ژنوتیپ‌ها بر پایه روش غیر پارامتری میانگین رتبه عملکرد دانه، روش رگرسیونی ابرهارت و راسل، روش اکووالانس ریک و واریانس پایداری شوکلا، روش گرینش همزمان (Y_{si}), روش‌های AMMI و SHMM ژنوتیپ شماره ۱۱ (Weebill 1) جزء لاینهای پایدار تشخیص داده شد. در این آزمایش با توجه به قابلیت روش‌های AMMI و SHMM، این دو روش جهت بهره‌برداری در تعیین ژنوتیپ‌های پایدار از جنبه عملکرد دانه پیشنهاد می‌شوند.

واژه‌های کلیدی: گندم نان، عملکرد دانه، پایداری، سازگاری، مناطق گرم و خشک.

مقدمه

تاثیر گزینش به مقدار زیادی به آن قسمت از فنوتیپ بستگی دارد که متاثر از ژنوتیپ است. بنابراین برای آن‌ها میزان تاثیر محیط روی صفات کمی اهمیت زیادی دارد (Hayword *et al.*, 1993).

رومگوزا و فاکس (Romagosa and Fox, 1993) روش‌های ارزیابی پایداری زراعی را در چهار گروه شامل روش‌های تجزیه واریانس، روش‌های رگرسیونی، روش‌های غیرپارامتری و روش‌های چند متغیره گروه‌بندی کردند. لین و بینز (Lin and Binns, 1991) نیز ضمن مقایسه روش‌های مختلف پایداری فنوتیپی و ارزیابی کارآیی آن‌ها، گروه‌بندی مشابهی را ارایه داده‌اند.

روش^۱ AMMI ترکیبی از تجزیه واریانس و تجزیه به مولفه‌های اصلی است، که از آن برای تجزیه و تحلیل مطالعات سازگاری استفاده می‌شود. در این روش با استفاده از تجزیه واریانس، اثر اصلی ژنوتیپ‌ها و محیط برآورد شده (اثر اصلی جمع‌پذیر) و سپس با استفاده از تجزیه به مولفه‌های اصلی، اثر متقابل ژنوتیپ و محیط (اثر متقابل ضرب‌پذیر) مورد تجزیه و تحلیل قرار می‌گیرد. ژنوتیپ‌های پایدار براساس این روش با نمودار پلات دو مولفه اصلی که بیشترین تغییرات را توجیه می‌کند، تعیین می‌شود (Clay and Dombek, 1995).

اثر متقابل بین ژنوتیپ‌ها و محیط‌ها در فرآیند آزادسازی لاین‌های جدید حائز اهمیت است، به طوری که ارزیابی لاین‌های جدید در یک سری آزمایش‌های یکنواخت به منظور شناسایی درجه سازگاری آن‌ها به شرایط متفاوت محیطی مهم است (Jarrah and Geng, 1997).

پایداری عملکرد به توانایی ژنوتیپ‌های گیاهی در بروز ظرفیت عملکرد در دامنه وسیعی از محیط‌ها اطلاق می‌شود. کشت آن‌ها در اقالیم مورد آزمایش طی سال‌ها و مکان‌های مختلف به عنوان نمونه‌ای از محیط‌ها، موجب تعیین پایداری عملکرد شده و ژنوتیپ‌های با اثر متقابل ژنوتیپ × محیط کمتر گزینش می‌شوند. پایداری عملکرد به حداقل خسارت ناشی از تغییرات اقلیمی، تنش یا آفات نیز اطلاق می‌شود (Phoelman and Sleper, 1996).

گاهی به جای پایداری عملکرد از واژه انعطاف‌پذیری فنوتیپی نیز استفاده می‌شود. پایداری عملکرد به ساختار ژنتیکی یا عکس‌العمل ژنوتیپ‌های فردی یا گروهی وابسته است. پایداری نتیجه اثر متقابل رقم و عوامل محیطی بوده و برآیند این واکنش با ساختار ژنتیکی رقم و شدت عوامل محیطی به خصوص عوامل محدود کننده محیط وابسته است (Falconer, 1985).

در اصلاح نباتات، به نژادگران گیاهان را بر مبنای فنوتیپ آن‌ها گزینش می‌کنند، در نتیجه

1. Additive mean effects and multiplicative interactions model

مواد و روش‌ها

.(Gauch, 1990

در این بررسی تعداد ۱۹ لاین و رقم پیشرفته گندم نان با احتساب رقم شاهد (چمران) در قالب طرح بلوک‌های کامل تصادفی در سه تکرار در ایستگاه‌های تحقیقات کشاورزی اهواز، دزفول، خرم‌آباد، داراب، ایرانشهر و زابل به مدت دو سال زراعی (۱۳۸۶-۱۳۸۴) مورد بررسی قرار گرفتند. کلیه ایستگاه‌های مذکور جزء گروه مناطق گرم و خشک کشور محسوب می‌شوند. نظر به این که آزمایش‌ها در دو سال و در شش مکان انجام شدند، جمعاً ۱۲ محیط در کل آزمایش‌ها وجود داشت. سال‌ها و مکان‌ها و در نتیجه محیط‌ها به عنوان فاكتورهای تصادفی و رقم به عنوان فاكتور ثابت در نظر گرفته شد.

طول واحدهای آزمایشی شش متر و عرض آن‌ها ۱/۲۰ متر بود و مساحت هر واحد آزمایشی برابر با ۷/۲۰ متر مربع لحاظ شد. تاریخ کاشت در ایستگاه‌های ذکر شده اول آذر ماه هر سال و عملیات کاشت به کمک بذر کار آزمایشی وینتراستایگر انجام شد.

تجزیه و تحلیل‌های این مطالعه مطابق مراحل

زیر انجام شد:

- (۱) تجزیه واریانس مرکب ارقام برای بررسی اثر اصلی، متقابل دوگانه و سه‌گانه، انجام شد.
- (۲) تجزیه پایداری ژنوتیپ‌های مورد بررسی با استفاده از روش ابرهارت و راسل (Eberhart and Russell, 1966) و مطابق مدل

پیشنهادی این محققین انجام شد.

- (۳) شاخص‌های پایداری اکووالانس ریک

نجفیان و همکاران (Najafian *et al.*, 2010) با استفاده از روش AMMI، ژنوتیپ‌های پایدار را در مطالعه خود تعیین و اظهار داشته‌اند که روش فوق الذکر می‌تواند در تعیین ژنوتیپ‌های حایز سازگاری عمومی و خصوصی برای مکان‌های مختلف مورد استفاده قرار گیرد.

دو روش ضرب‌پذیر در مطالعات اثر متقابل ژنوتیپ و محیط به منظور گروه‌بندی ژنوتیپ‌ها توسط کورنلیوس (Cornelius, 1993) پیشنهاد شده است که شامل مدل ضرب‌پذیر تغییر یافته^۱ (SHMM) و مدل رگرسیون مکانی^۲ (SREG)^۳ است (Cornelius *et al.*, 1996). در روش SHMM محیط‌ها و ژنوتیپ‌ها بر پایه کمترین حداکثر درست‌نمایی^۳ گروه‌بندی شده و بر مبنای شکل ارایه شده می‌توان ژنوتیپ‌های پایدار را مشخص کرد (Yan *et al.*, 2009). در روشنایی Seyedsadr and Cornelius, 1992 (Crossa *et al.*, 2002).

هدف از این مطالعه، تعیین ژنوتیپ‌های پایدار برای اقلیم گرم و خشک جنوب ایران بر پایه هر یک از روش‌های تجزیه و تحلیل پایداری و تعیین کارایی روش‌های مبتنی بر گراف بود.

-
1. Shifted multiplicative models cluster analysis
 2. Site regression model
 3. Maximum likelihood

با استفاده از نرم افزارهای SPSS (Einspruch, 2005) و SAS (2000) انجام شد.

نتایج و بحث

نام و شجره لاین‌های پیشرفته و ارقام آزمایشی در جدول ۱ آورده شده است. نتایج حاصل از تجزیه واریانس مركب دو ساله عملکرد دانه در مناطق مورد مطالعه نشان داد که اثر متقابل مکان × سال و ژنتیپ × مکان × سال به ترتیب در سطوح احتمال ۱ درصد و ۵ درصد معنی دار هستند (جدول ۲). معنی دار بودن اثر متقابل مکان × سال، نشان‌دهنده تفاوت بین مکان‌ها از سالی به سال دیگر بود. با توجه به معنی دار بودن اثر متقابل ژنتیپ × مکان × سال چنین به نظر می‌رسد که بین عملکرد ژنتیپ‌های مختلف در طی سال‌های مختلف و در هر یک از مکان‌های مورد بررسی اختلاف وجود دارد. میانگین مربعات سال معنی دار بود و نشان داد که در سال‌های مختلف عملکرد ژنتیپ‌های مورد آزمایش در مناطق مختلف تفاوت معنی داری با یکدیگر دارند. اما اثر متقابل ژنتیپ × سال معنی دار نبود که میان آن بود که بین میانگین ژنتیپ‌ها از سالی به سال دیگر (در متوسط مکان‌ها) اختلاف معنی داری وجود نداشته است. با توجه به معنی دار بودن اثر متقابل مکان × سال و ژنتیپ × مکان × سال می‌توان نتیجه گرفت که عملکرد ژنتیپ‌ها در محیط‌های مختلف در نوسان بوده و برای بررسی دقیق‌تر این اثر متقابل

(Wricke, 1962) و واریانس پایداری شوکلا (Shukla, 1972) برای همه ژنتیپ‌ها تعیین شد. ۴) بررسی پایداری ژنتیپ‌ها با استفاده از روش غیرپارامتری بر پایه میانگین و انحراف معیار رتبه برای دو سال زراعی و میانگین آن‌ها انجام شد. بدین منظور رتبه هر ژنتیپ از نظر میانگین عملکرد در مجموع ژنتیپ‌های مورد بررسی برای هر آزمایش تعیین شد و سپس میانگین رتبه (\bar{R}) و انحراف معیار آن (Standard Deviation of Rank: SDR) محاسبه شد. نسبت شاخص عملکرد محیط (Yield Index Ratio: YIR) برای هر ژنتیپ و برای تمام مکان‌ها و سال‌ها به عنوان معیار دیگری از پایداری عملکرد تعیین شد. بدین منظور میانگین عملکرد هر ژنتیپ در تمام محیط‌ها به متوسط کل عملکرد ژنتیپ‌ها در تمام محیط‌ها تقسیم و به صورت درصد نشان داده شد (Fox and Rosielle, 1982).

۵) پایداری ژنتیپ‌ها بر مبنای روش گرینش همزمان (Y_{si}) نیز محاسبه شد. برای این منظور از روش پیشنهادی کانگ (Kang, 1993) استفاده شد.

۶) تعیین پایداری ژنتیپ‌ها براساس مدل AMMI و رسم گراف‌های مربوط به آن انجام شد (Cornelius, 1993).

۷) معیار پایداری و گروه‌بندی ژنتیپ‌ها براساس مدل SHMM نیز انجام شد (Seyedsadr and Cornelius, 1992).

کلیه محاسبات آماری این مطالعه

جدول ۱- نام و شجره ارقام و لاین های مورد استفاده در این آزمایش
Table 1. Name and pedigree of cultivars and lines used in this study

شماره رقم Entry No.	نام و شجره Name and pedigree
1	Chamran (Check)
2	Bow"s"/CM34798/3/Snb/Pewee"s"//Snb/Mus
3	KASYON/GENARO.81//TEVEE-1
4	KAUZ/AA//KAUZ
5	Kauz/Weaver
6	MILAN/3/JUP/BJY//URES
7	SERI/NKT//2*KAUZ
8	ATTILA*2/PBW65
9	KAUZ/PASTOR
10	VEE/TRAP#1//VEE/JUN/3/KAUZ
11	WEEBILL1
12	CHOIX/STAR/3/HE1/3*CNO79//2*SERI
13	ATTILA*2/STAR
14	PASTOR/3/KAUZ*2/OPATA//KAUZ
15	PASTOR/KAUZ
16	CIRCUS
17	VEE#8//JUP/BJY/3/F3.71/TRM/4/BCN/5/KAUZ
18	SITE/MO/3/VORONA/BAU//BAU
19	ATTILA*2/PBW65

لاین های ۸ و ۱۹ لاین های خواهری هستند که از یک برنامه تلاقی حاصل شده‌اند.

Lines No. 8 and 19 are sisterlines.

رتبه پایین پایدارترین ژنوتیپ از نظر این روش بود. ژنوتیپ های شماره ۱، ۲، ۳، ۱۴ و ۱۶ نیز به ترتیب با داشتن میانگین و انحراف معیار رتبه کمتر پس از ژنوتیپ شماره ۱۱ قرار گرفتند. از نظر روش موردنظر، ژنوتیپ های شماره ۵، ۱۷ و ۹ با اختصاص بالاترین میانگین رتبه و انحراف معیار آن از پایداری عملکرد دانه ضعیف تری برخوردار بودند. مقادیر مربوط به نسبت شاخص عملکرد که بر پایه میانگین نتایج

و تعیین ژنوتیپ های سازگار در شرایط محیطی مختلف، تجزیه پایداری ژنوتیپ ها برای ایستگاه ها و سال های مختلف این مطالعه انجام شد.

جدول ۳ مقادیر میانگین و انحراف معیار رتبه ژنوتیپ ها را در شش مکان و دو سال زراعی ۱۳۸۴-۸۶ نشان می دهد. ژنوتیپ شماره ۱۱ در بین ژنوتیپ های مورد مطالعه، با اختصاص کمترین میانگین رتبه و انحراف معیار

جدول ۲- تجزیه واریانس مرکب عملکرد دانه ژنوتیپ‌های گندم نان در مناطق مختلف در دو سال زراعی ۱۳۸۴-۸۶
Table 2. Combined analysis of variance for grain yield of bread wheat genotypes at different locations in 2005-2007 cropping seasons

S.O.V.	منابع تغیرات	درجه آزادی	میانگین مربعات
		df.	MS
Year (Y)	سال	1	954.773**
Location (L)	مکان	5	26.650*
Y×L	مکان × سال	5	5.065**
Replication (Y×L)	تکرار (سال × مکان)	24	0.877
Genotype (G)	ژنوتیپ	18	0.768
Y×G	ژنوتیپ × سال	18	0.254
L×G	مکان × ژنوتیپ	90	0.577
Y×L×G	ژنوتیپ × سال × مکان	90	0.470*
Error	اشتباه	432	0.335

* و ** به ترتیب معنی دار در سطوح احتمال ۵ درصد و ۱ درصد

* and ** : Significant at 5% and 1% probability levels, respectively.

دو سال زراعی محاسبه شده و در جدول ۳ درج شده است، معیار غیر پارامتری دیگری است که بر پایه آن ژنوتیپ شماره ۱۱ با اختصاص بالاترین نسبت شاخص عملکرد (۱۰۶/۰ درصد) در بین ژنوتیپ‌های مورد مطالعه بهترین ژنوتیپ بر پایه این معیار بود. ژنوتیپ‌های شماره ۱۳، ۱۴ و ۲ پس از ژنوتیپ شماره ۱۱ در مکان بعدی از جنبه پایداری عملکرد قرار گرفتند و ژنوتیپ‌های شماره ۱۷، ۴ و ۵ که از نسبت شاخص عملکرد پائینی برخوردار بودند، ناپایدار تلقی شدند. این شاخص که منحصرآ بر پایه میانگین عملکرد، ژنوتیپ‌ها را گروه‌بندی می‌کند، می‌تواند مکمل دو معیار میانگین رتبه و انحراف معیار آن در گزینش ژنوتیپ‌های پایدار باشد. در مجموع سه معیار، ژنوتیپ‌های شماره نتایج تجزیه میانگین مربعات براساس روش

دو سال زراعی محسوبه شده در جدول ۳ درج شده است، معیار غیر پارامتری دیگری است که بر پایه آن ژنوتیپ شماره ۱۱ با اختصاص بالاترین نسبت شاخص عملکرد (۱۰۶/۰ درصد) در بین ژنوتیپ‌های مورد مطالعه بهترین ژنوتیپ بر پایه این معیار بود. ژنوتیپ‌های شماره ۱۳، ۱۴ و ۲ پس از ژنوتیپ شماره ۱۱ در مکان بعدی از جنبه پایداری عملکرد قرار گرفتند و ژنوتیپ‌های شماره ۱۷، ۴ و ۵ که از نسبت شاخص عملکرد پائینی برخوردار بودند، ناپایدار تلقی شدند. این شاخص که منحصرآ بر پایه میانگین عملکرد، ژنوتیپ‌ها را گروه‌بندی می‌کند، می‌تواند مکمل دو معیار میانگین رتبه و انحراف معیار آن در گزینش ژنوتیپ‌های پایدار باشد. در مجموع سه معیار، ژنوتیپ‌های شماره

جدول ۳- پایداری عملکرد دانه ژنوتیپ های گندم نان مبتنی بر روش های غیر پارامتریک میانگین رتبه در مکان های مورد مطالعه در دو سال زراعی (۱۳۸۴-۸۶)

Table 3. Stability analysis of grain yield in bread wheat genotypes based on non-parametric mean of ranks in locations and years (2005-2007)

Genotype No.	Locations						Mean grain yield (tha ⁻¹)	Mean rank of yield	Standard deviation for rank of yield	Yield index ratio				
	مکان ها													
	Ahvaz	Dezful	Khorramabad	Darab	Iranشهر	Zabol								
1	5.901	5.261	7.167	6.718	5.986	6.046	6.180	7.08	4.400	100.9				
2	5.653	4.921	6.931	6.947	6.337	6.415	6.201	8.83	5.638	101.2				
3	5.600	5.132	7.309	6.949	6.146	6.505	6.274	8.42	5.435	102.4				
4	5.786	4.745	6.413	6.926	5.814	5.617	5.884	9.75	6.797	96.0				
5	5.522	5.188	6.377	7.014	5.956	5.565	5.937	11.67	4.942	96.9				
6	5.997	5.232	6.740	6.774	6.240	6.360	6.224	9.25	4.070	101.6				
7	6.217	4.814	6.928	6.645	6.612	5.696	6.152	10.33	6.583	100.4				
8	5.883	5.404	7.001	6.054	5.839	6.240	6.070	11.00	5.309	99.1				
9	5.195	5.445	7.010	6.960	5.314	5.910	5.972	11.42	6.007	97.5				
10	4.845	4.866	6.607	7.003	6.008	6.426	5.959	11.25	5.675	97.3				
11	6.364	5.411	7.540	6.993	5.875	6.768	6.492	6.00	4.000	106.0				
12	5.750	5.203	6.855	6.169	5.794	6.766	6.090	11.00	4.452	99.4				
13	6.061	5.734	7.661	6.053	6.002	6.935	6.408	7.42	6.515	104.6				
14	5.720	5.907	7.263	7.163	5.761	6.639	6.409	8.42	5.977	104.6				
15	5.158	4.935	7.585	7.054	5.387	6.433	6.092	11.33	5.399	99.4				
16	5.778	5.432	6.539	6.685	5.713	6.511	6.110	11.08	3.942	99.7				
17	5.425	5.039	5.836	6.222	5.765	5.988	5.713	14.08	4.441	93.3				
18	5.439	5.689	6.209	6.714	5.516	7.268	6.139	10.33	6.228	100.2				
19	5.903	4.872	7.302	6.567	5.937	6.077	6.110	11.50	4.890	99.7				

برای نام ژنوتیپ ها به جدول ۱ مراجعه شود.

For genotype names see Table 1.

عملکرد دانه بالاتر از میانگین کل ژنوتیپ‌ها بودند. ژنوتیپ‌های شماره ۴، ۱۳ و ۱۸ به واسطه داشتن بیشترین ضریب اکووالانس و در نتیجه سهم بیشتر در مقدار اثر متقابل ژنوتیپ × محیط ناپایدار بودند. واریانس اثر متقابل ژنوتیپ × محیط مرتب با روش پایداری شوکلا نشان داد که ژنوتیپ‌های شماره ۱۱، ۶ و ۱۶ به واسطه اختصاص کمترین واریانس اثر متقابل ژنوتیپ × محیط، پایدارترین ژنوتیپ‌ها بوده‌اند. ژنوتیپ‌های شماره ۴، ۱۳ و ۱۸ به واسطه داشتن بیشترین واریانس، از پایداری چندانی برخوردار نبودند (جدول ۴). مقایسه دو معیار نشان می‌دهد که گزینش ژنوتیپ‌ها بر پایه این دو معیار تا حد قابل توجهی مشابه بوده و همبستگی بالایی بین این دو معیار وجود دارد. مقایسه نتایج اکووالانس ریک و واریانس پایداری شوکلا با نتایج مبتنی بر معیارهای غیر پارامتریک میانگین رتبه و انحراف معیار آن و نسبت شاخص عملکرد نیز حاکی از آن بود که گرچه همبستگی بالایی بین نتایج این روش‌ها نیست، اما همه معیارها توانسته‌اند ژنوتیپ شماره ۱۱ را به عنوان پایدارترین ژنوتیپ گزینش و معرفی کنند.

بر مبنای گزینش همزمان برای عملکرد دانه و پایداری (Y_{si})، ژنوتیپ‌های شماره ۱۱ و ۱۴ به ترتیب با $Y_{si}=21$ و $Y_{si}=20$ ، جزء پایدارترین ژنوتیپ‌ها بودند (جدول ۵). ژنوتیپ‌های شماره ۲، ۳، ۶، ۱۶ و ۱۹، از جنبه این معیار در مراتب بعدی پایداری قرار گرفتند. ژنوتیپ‌های پایدار

رگرسیونی ابرهارت و راسل F معنی داری را برای ژنوتیپ‌ها نشان داد که حاکی از وجود تنوع ژنتیکی وسیع در بین ژنوتیپ‌ها بود. همچنین معنی دار بودن F برای اثر محیط خطی نشان دهنده رگرسیون خطی قابل ملاحظه‌ای بین عملکرد هر محیط و شاخص محیطی بود. اثر متقابل ژنوتیپ × محیط خطی غیرمعنی دار شد و نشان داد که در محیط‌های یکنواخت‌تر، واکنش ژنوتیپ‌ها به محیط‌ها، نزدیک‌تر است. با توجه به عدم تفاوت معنی دار بین میانگین مربعات انحراف از خط رگرسیون ($S^2 d_i$) ژنوتیپ‌ها، به طور قطع نمی‌توان گفت که روش مذکور در گزینش ژنوتیپ‌های پایدار موثر باشد. با وجود این، ژنوتیپ شماره ۱۱ با اختصاص بالاترین میانگین عملکرد و ضریب رگرسیونی نزدیک به ۱ از ژنوتیپ‌های پایدار بر پایه این روش تلقی شد. ژنوتیپ‌های شماره ۱۴، ۲، ۳ و ۱ پس از ژنوتیپ شماره ۱۱ به ترتیب در مکان‌های بعدی از جنبه پایداری قرار گرفتند. این روش توسط ییتز و کوکران (Yates and Cochran, 1983) نیز استفاده شد. آن‌ها با این روش ژنوتیپ‌های پایدار با عملکرد بالا را معرفی کردند (جدول ۴).

بر اساس روش پایداری ریک، ژنوتیپ‌های شماره ۱۱، ۶، ۱۶ و ۱۲ با داشتن کمترین ضریب اکووالانس و در نتیجه سهم کمتر در مقدار اثر متقابل ژنوتیپ × محیط، از نظر این روش پایدار محسوب شدند. همچنین به جز ژنوتیپ شماره ۱۶ سایر ژنوتیپ‌ها (۶، ۱۱ و ۱۲) دارای میانگین

جدول ۴- پایداری عملکرد دانه ژنوتیپ های گندم نان مبتنی بر روش اکووالانس ریک (W_i)، واریانس پایداری شوکلا (σ_i^2) و روش رگرسیونی ابرهارت و راسل

Table 4. Stability analysis of grain yield in bread wheat genotypes based on Wricke's equivalence, Shukla's stability variance and regression method of Eberhart and Russell

Genotype No.	Wricke's equivalence	اکووالانس ریک شماره ژنوتیپ	واریانس پایداری شوکلا	مجذور انحراف از خط رگرسیون	ضریب رگرسیونی از خط رگرسیون	میانگین عملکرد دانه
1	2.60 ^{ns}	0.25 ^{ns}	0.21 ^{ns}	1.31 ^{ns}	6.180	
2	1.90 ^{ns}	0.18 ^{ns}	0.13 ^{ns}	1.32 ^{ns}	6.201	
3	1.87 ^{ns}	0.17 ^{ns}	0.19 ^{ns}	1.03 ^{ns}	6.274	
4	6.63 ^{ns}	0.66 ^{ns}	0.59 ^{ns}	1.37 ^{ns}	5.884	
5	4.30 ^{ns}	0.42 ^{ns}	0.37 ^{ns}	0.67 ^{ns}	5.937	
6	1.02 ^{ns}	0.09 ^{ns}	0.09 ^{ns}	0.86 ^{ns}	6.224	
7	3.27 ^{ns}	0.32 ^{ns}	0.33 ^{ns}	0.95 ^{ns}	6.152	
8	2.32 ^{ns}	0.22 ^{ns}	0.18 ^{ns}	0.71 ^{ns}	6.070	
9	1.98 ^{ns}	0.19 ^{ns}	0.19 ^{ns}	1.10 ^{ns}	5.972	
10	1.97 ^{ns}	0.18 ^{ns}	0.18 ^{ns}	1.18 ^{ns}	5.959	
11	0.97 ^{ns}	0.08 ^{ns}	0.09 ^{ns}	1.07 ^{ns}	6.492	
12	1.65 ^{ns}	0.15 ^{ns}	0.17 ^{ns}	0.81 ^{ns}	6.090	
13	4.99 ^{ns}	0.49 ^{ns}	0.48 ^{ns}	0.80 ^{ns}	6.408	
14	1.85 ^{ns}	0.17 ^{ns}	0.18 ^{ns}	1.07 ^{ns}	6.409	
15	4.36 ^{ns}	0.43 ^{ns}	0.26 ^{ns}	1.56 ^{ns}	6.092	
16	1.22 ^{ns}	0.11 ^{ns}	0.09 ^{ns}	0.74 ^{ns}	6.110	
17	3.42 ^{ns}	0.33 ^{ns}	0.16 ^{ns}	0.43 ^{ns}	5.713	
18	4.91 ^{ns}	0.48 ^{ns}	0.48 ^{ns}	0.84 ^{ns}	6.139	
19	1.89 ^{ns}	0.18 ^{ns}	0.17 ^{ns}	1.18 ^{ns}	6.110	

ns: Not significant.

غیر معنی دار.

برای نام ژنوتیپ ها به جدول ۱ مراجعه شود.

For genotype names see Table 1.

مربوط به اثر غیر خطی ژنوتیپ × محیط را توجیه کنند (جدول ۶). بر مبنای روش AMMI، ژنوتیپ های پایدار حایز مقادیر مثبت و کمتر برای مولفه های اصلی که بخش عمدہ ای از تغییرات اثر غیر خطی ژنوتیپ × محیط را به خود اختصاص داده باشند، به عنوان ژنوتیپ های پایدار تعیین می شوند. ژنوتیپ های شماره ۱۸،

بر مبنای این روش با نتایج روش های رگرسیونی ابرهارت و راسل، اکووالانس ریک، واریانس پایداری شوکلا و روش غیر پارامتری میانگین و انحراف معیار رتبه مشابه است نسبی داشت.

تجزیه میانگین مربوعات بر مبنای روش پایداری AMMI نشان داد که سه مولفه اصلی اول توانسته اند بیش از ۹۰ درصد از تغییرات

جدول ۵- پایداری عملکرد دانه ژنوتیپ‌های گندم نان مبتنی بر روش گزینش همزمان (Y_{si})

Table 5. Stability analysis of grain yield in bread wheat genotypes based on simultaneous selection method

شماره ژنوتیپ	Genotype No.	Number	Mean grain yield (tha ⁻¹)	Rank of yield	Adjusted coefficient for rank of yield	Adjusted rank	Stability variance	Stability rank	معیار گزینش همزمان
									Simultaneous selection measure
1	13	6.179	14	+1	21	0.74 n.s	-8	6	
2	14	6.200	15	+1	20	0.53 n.s	0	15*	
3	16	6.223	17	+1	19	0.52 n.s	0	17*	
4	2	5.883	0	-2	18	1.97 n.s	-8	-8	
5	3	5.936	2	-1	17	1.26 n.s	-8	-6	
6	15	6.223	16	+1	16	0.26 n.s	0	16*	
7	12	6.151	13	+1	15	0.94 n.s	-8	5	
8	6	6.070	5	-1	14	0.66 n.s	-4	1	
9	5	5.972	4	-1	13	0.55 n.s	0	4	
10	4	5.958	3	-1	12	0.55 n.s	0	3	
11	19	6.491	21	+2	9	0.24 n.s	0	21*	
12	7	6.089	6	-1	8	0.45 n.s	0	6	
13	17	6.407	19	+2	7	1.47 n.s	-8	11	
14	18	6.408	20	+2	6	0.51 n.s	0	20*	
15	8	6.091	7	-1	5	1.28 n.s	-8	-1	
16	9	6.109	8	-1	4	0.32 n.s	0	8*	
17	1	5.713	-1	-2	3	0.99 n.s	-8	-9	
18	11	6.138	12	+1	2	1.44 n.s	-8	4	
19	10	6.109	9	-1	1	0.53 n.s	0	9*	

Mean= 6.126

LSD 5% = 0.224

Mean= 6.421

*: ژنوتیپ‌های پایدار

n.s: غیر معنی دار.

برای نام ژنوتیپ‌ها به جدول ۱ مراجعه شود.

For genotype names see Table 1.

جدول ۶- پایداری عملکرد دانه ژنوتیپ های گندم نان مبتنی بر روش AMMI
Table 6. Stability analysis of grain yield in bread wheat genotypes based on AMMI method

مولفه Principle component	درجه آزادی df.	میانگین مربعات MS	درصد توجیه مولفه Percent explained by principle component	درصد تجمعی Cumulative percentage
First اول	22	0.384**	52.70	32.52
Second دوم	20	0.340**	23.90	76.60
Third سوم	18	0.331**	14.35	90.95
Forth چهارم	16	0.196**	8.10	99.05

** : معنی دار در سطح احتمال ۱٪.

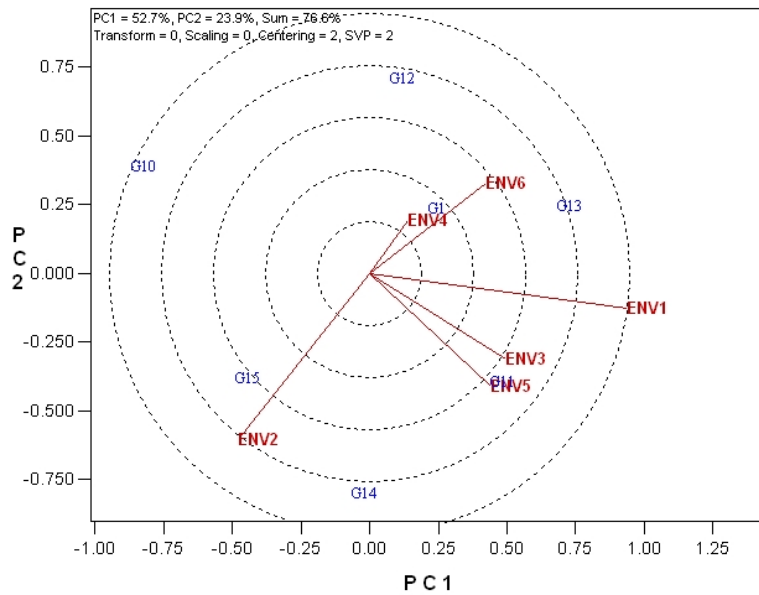
** : Significant 1% at levels of probability, respectively.

ژنوتیپ های حایز کمترین اثر متقابل ژنوتیپ × محیط و موقعیت مکان های این مطالعه را از این جنبه نشان می دهد. ژنوتیپ هایی که بر روی یک دایره قرار دارند از جنبه اثر متقابل ژنوتیپ × محیط مشابه هستند. ژنوتیپ هایی که به محور مختصات نزدیک تر هستند از نظر پایداری عمومی حایز اهمیت هستند (شکل ۱). ژنوتیپ های شماره ۱۱، ۱۴ و ۱ به ترتیب با بالاترین میانگین عملکرد و کمترین اثر متقابل ژنوتیپ × محیط جزو پایدارترین ژنوتیپ ها بر مبنای روش AMMI قرار گرفتند.

گروه بندی ژنوتیپ ها بر مبنای مدل SHMM (مدل ضرب پذیر تغییر یافته) و قطع دندرو گرام در نقطه ۲/۵، سه گروه از ژنوتیپ ها را مشخص کرد (شکل ۲). در گروه اول ژنوتیپ های شماره ۱، ۸، ۱۱، ۱۲، ۱۵، ۱۶ و ۱۸ جای گرفتند، گروه دوم به نه ژنوتیپ شماره ۲، ۳، ۶، ۹، ۱۰، ۱۴، ۱۵، ۱۷ و ۱۹ اختصاص یافت و در گروه سوم دو ژنوتیپ ۵ و ۷ قرار گرفتند. گروه اول

۱۵ و ۱۳ دارای اثر متقابل ژنوتیپ × محیط بزرگ بوده و میانگین عملکرد آنها از میانگین کل ژنوتیپ ها بیشتر بود. این ژنوتیپ ها دارای پایداری کمتر و واجد سازگاری خصوصی با برخی از محیط ها بودند. ژنوتیپ های شماره ۱۷، ۸، ۵، ۱۰ و ۹ دارای اثر متقابل ژنوتیپ × محیط متوسط بوده و در گروه ژنوتیپ های با پایداری کم قرار گرفتند.

نتایج حاصل از تجزیه پایداری بر مبنای روش AMMI با نتایج معیارهای قبلی پایداری تقریباً مشابه بودند. در همه این روش ها، ژنوتیپ شماره ۱۱ به واسطه میانگین عملکرد دانه بالاتر از میانگین کل ژنوتیپ ها و حداقل اثر متقابل ژنوتیپ × محیط در زمرة پایدارترین ژنوتیپ ها بود با توجه به همین روش ها و معیارها، ژنوتیپ های شماره ۱۷، ۸ و ۵ به واسطه میانگین عملکرد دانه پائین تر از میانگین کل و حداقل اثر متقابل ژنوتیپ × محیط در زمرة ژنوتیپ های با پایداری ضعیف قرار گرفتند. شکل ۱ پراکنش

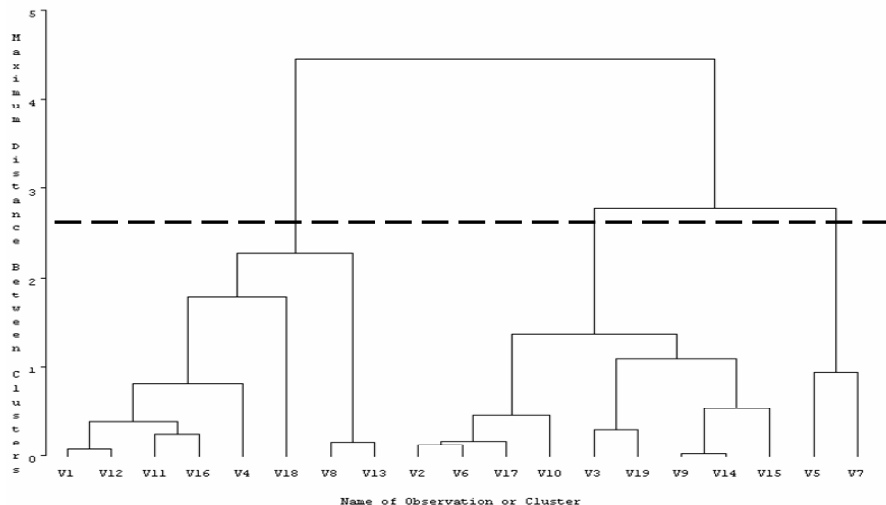


شکل ۱- با پلات اولین و دومین مولفه اصلی برای ژنوتیپ‌ها گندم نان حاiz کمترین اثر متقابل ژنوتیپ × محیط (Env1-Env5) به ترتیب معرف مکان‌های اهواز، داراب، دزفول، ایرانشهر، خرمآباد و زabol هستند)

Fig. 2. Biplot of first and second principles for selected bread wheat genotypes with lowest genotypes by environment interaction(Env1-Env5 representative of locations Ahvaz, Darab, Dezful, Iranshahr, Khorramabd and Zabol, respectively)

برای نام ژنوتیپ‌ها (G1-G19) به جدول ۱ مراجعه شود.

For genotype names (G1-G19) see Table 1.



شکل ۲- گروه‌بندی ژنوتیپ‌های گندم نان مبتنی بر مدل ضرب پذیر تغییر یافته (SHMM)

Fig. 2. Classification of bread wheat genotypes based on shifted multiplicative models cluster analysis (SHMM)

برای نام ژنوتیپ‌ها (V1-V19) به جدول ۱ مراجعه شود.

For genotype names (V1-V19) see Table 1.

و با روش AMMI متفاوت است. در روش‌های ریک و شوکلا، ژنوتیپ‌های پایدار شامل ژنوتیپ‌های شماره ۱۱، ۶، ۱۶ و ۱۲ بودند، که غیر از ژنوتیپ شماره ۱۶ بقیه از میانگین عملکرد بالایی برخوردار بودند. در روش رگرسیونی ابرهارت و راسل ژنوتیپ‌های شماره ۱۱، ۱۴، ۲، ۳ و ۱ و در روش گزینش همزمان ژنوتیپ‌های شماره ۱۴، ۱۵، ۱۶، ۹، ۱۹ و ۱۰ پایدار تعیین شدند. بررسی‌ها نشان داد روش ابرهارت و راسل به واسطه اختصاص ژنوتیپ‌های پایدار با عملکرد بالا روش مناسبی برای تعیین پایداری ژنوتیپ‌های مورد مطالعه بود، ولی به دلیل عدم تفاوت معنی‌دار بین ضربیت رگرسیونی و انحراف از رگرسیون ژنوتیپ‌های مورد مطالعه در این شرایط به طور قطع نمی‌توان روش ابرهارت و راسل و سایر روش‌هایی که نتایج مشابه با روش دارند را به عنوان روش برتر انتخاب کرد.

در روش AMMI، علاوه بر محاسبه اثر جمع‌پذیر ساده که در روش‌های قبلی نیز مورد استفاده قرار گرفت می‌توان اثر اصلی ضرب‌پذیر (تجزیه به مولفه‌های اصلی) را نیز محاسبه و اثر متقابل ژنوتیپ × محیط را با جزئیات بیشتر مورد بررسی قرار داد (جدول ۷). با توجه به معنی‌دار بودن اثر متقابل ژنوتیپ × محیط، تجزیه بر اساس این روش نشان داد که ژنوتیپ‌های شماره ۱۱، ۱۴ و ۱ به واسطه اختصاص کمترین اثر متقابل ژنوتیپ × محیط و بالاترین میانگین عملکرد به عنوان پایدارترین ژنوتیپ‌ها شناخته

شامل ژنوتیپ‌هایی بود که میانگین عملکرد آن‌ها در گروه خوب قرار داشت و از جنبه مقادیر اولین و دومین مولفه اصلی شامل مقادیر نسبتاً کوچک برای مولفه اول و مقادیر مثبت و نسبتاً کوچک برای دومین مولفه بوده‌اند. در گروه دوم ژنوتیپ‌هایی با میانگین عملکرد متوسط قرار گرفتند که مقادیر دو مولفه در آن‌ها نزدیک به صفر و یا منفی بود. گروه سوم شامل ژنوتیپ‌هایی بود که مقادیر بالا و منفی را از جنبه اولین و دومین مولفه به خود اختصاص دادند. کورنلیوس (Cornelius, 1993) نیز در مطالعات خود از این روش استفاده کرد و آن را در گروه‌بندی لاین‌ها از جنبه اثر متقابل ژنوتیپ × محیط توصیه کرد.

گروه‌بندی مناطق مورد بررسی بر اساس روش مدل ضرب‌پذیر تغییر یافته (SHMM) نشان داد که در محدوده ۱/۵ در مقیاس تغییر یافته دو گروه به دست می‌آید که در گروه اول ایستگاه‌های اهواز، داراب، ایرانشهر و خرم‌آباد (S2، S4 و S5) و در گروه دوم دو ایستگاه دزفول و زابل (S3 و S6) قرار گرفتند (شکل ۳). مکان‌هایی که در یک گروه قرار گرفتند. از نظر مقادیر اثر متقابل ژنوتیپ × محیط نزدیک به هم بوده‌اند. بر اساس روش SHMM، مکان‌ها یا ژنوتیپ‌ها با حداقل اثر متقاطع (تغییر در ترتیب) در یک گروه قرار می‌گیرند. این روش مبتنی بر اثر اصلی ژنوتیپ و اثر متقابل ژنوتیپ × محیط بوده

جدول ۷- مقادیر مربوط به دو مولفه اصلی ژنوتیپ‌های گندم نان و شش مکان مورد بررسی

Table 7. Amounts of two principle components in bread wheat genotypes and six locations of study

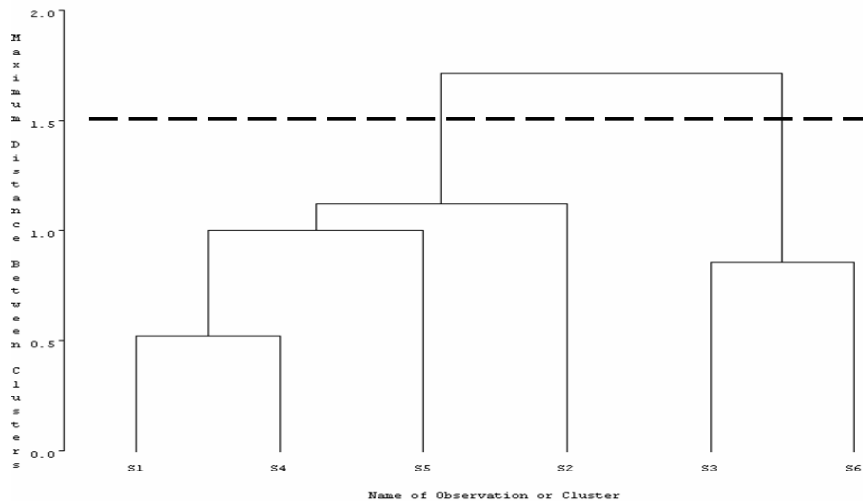
شماره ژنوتیپ Genotype No.	میانگین عملکرد دانه Mean grain yield (tha ⁻¹)	مولفه اول First Component	مولفه دوم Second Component	مولفه سوم Third Component
1	6.179	0.060	0.308	-0.080
2	6.200	-0.068	-0.248	-0.134
3	6.223	0.102	-0.188	0.201
4	5.883	-0.414	0.220	0.032
5	5.936	-0.410	-0.408	0.146
6	6.223	-0.106	-0.081	-0.231
7	6.151	-0.077	-0.604	-0.518
8	6.070	0.246	0.059	-0.318
9	5.972	0.092	-0.156	0.417
10	5.958	-0.163	-0.185	0.349
11	6.491	0.244	0.128	-0.016
12	6.089	0.024	0.328	-0.163
13	6.407	0.563	0.370	-0.327
14	6.408	0.053	-0.081	0.248
15	6.091	0.555	-0.030	0.569
16	6.109	-0.184	0.167	-0.026
17	5.12	-0.438	0.135	-0.160
18	6.138	-0.422	0.531	0.178
19	6.109	0.340	-0.264	-0.165
S1 (Ahwaz)	4.594	-0.106	0.032	-0.698
S2 (Darab)	5.331	-0.446	-0.512	0.774
S3 (Dezful)	4.253	-0.095	0.246	0.164
S4 (Iranshahr)	4.673	-0.316	-0.530	-0.511
S5 (Khorramabad)	5.534	1.151	-0.169	0.132
S6 (Zabol)	5.033	-0.187	0.934	0.139

برای نام ژنوتیپ‌ها به جدول ۱ مراجعه شود.

For genotype names see Table 1.

در پایان پیشنهاد می‌شود که استفاده از روش‌های جدیدتر تجزیه پایداری نظری SHMM و AMMI به دلیل بررسی بهتر و جزئی‌تر اثر متقابل ژنوتیپ × محیط که شامل اثر اصلی جمع پذیر و اثرات اصلی ضرب‌پذیر هستند برای تعیین ژنوتیپ‌های پایدار و سازگار مورد استفاده قرار گیرند.

شدند و ژنوتیپ شماره ۱۱ به دلیل اختصاص کمترین اثر متقابل در بین ژنوتیپ‌های فوق به عنوان پایدارترین ژنوتیپ شناخته شد. با توجه به این که نتایج این روش با نتایج روش ابرهارت و راسل و میانگین رتبه و انحراف معیار آن مشابه بود می‌توان روش رتبه و ابرهارت و راسل را پس از دو روش AMMI و SHMM به عنوان روش مناسب در این مطالعه پیشنهاد کرد.



شکل ۳- گروه‌بندی مکان‌های مورد مطالعه مبتنی بر مدل ضرب‌پذیر تغییر یافته (SHMM)

Fig. 3. Classification of bread wheat locations based on shifted multiplicative models cluster analysis (SHMM)

S1-S6: نشان‌دهنده مکان‌های به ترتیب اهواز، داراب، دزفول، ایرانشهر، خرم‌آباد و زابل.

S1-S6: Representative of locations of Ahwaz, Darab, Dezful, Iranshahr, Khorramabad and Zabol, respectively.

در شهرستان‌های مختلف نقش داشته‌اند، تشکر

سپاسگزاری

از کلیه محققین، کارشناسان مجری و
قدرتمندی می‌شود.
تکنسین‌هایی که در اجرا و ثبت داده‌های اولیه

References

- Becker, H. C., and Leon, J. 1988.** Stability analysis in plant breeding . Plant Breeding 101: 1-23.
- Clay, H., and Dombek, D. 1995.** Comparing soybean cultivar ranking and selection for yield with AMMI and full – data performance estimates. Crop Science 35: 1536-1541.
- Cornelius, P.L. 1993.** Statistical tests and retention of terms in the additive main effects and multiplicative interaction model for cultivar trials. Crop Science 33: 1186-1193.
- Cornelius, P. L., Crossa, J., and Seyedsadr, M. S. 1996.** Statistical tests and estimators for multiplicative models for cultivar trials. pp. 199-234. In: Kang, M. S. and Gauch, H. G. (eds.). Genotype-by-Environment Interaction. CRC Press, Boca Raton, Florida, USA.
- Crossa, J., Cornelius, P. L., and Yan, W. 2002.** Biplot of linear-bilinear models for

- studying crossover genotype \times environment interaction. *Crop Science* 42: 619-633.
- Eberhart. S. A., and Russell, W. A. 1966.** Stability parameters for comparing varieties *Crop Science* 6: 36-40.
- Einspruch, E. L. 2005.** An introductory guide to SPSS~for windows. Stage Publication, Inc Thousand Oaks, CA.
- Falconer, D. S. 1985.** Introduction to Quantitative Genetics. Longman, U.S.A.
- Fox, D. N., and Rosielle, A. 1982.** Reducing the influence of environmental main effects of plant breeding environments. *Euphytica* 31: 645-656.
- Gauch, H. G. 1990.** Full and reduced models for yield trials. *Theoretical and Applied Genetics* 80: 153-160.
- Hayward, M. D., Bosemark, N. O., and Romagosa, I. 1993 .** Plant Breeding. Chapman and Hall Press, U.K.
- Jarrahd, M., and Geng, I. 1997.** Variability of morpho-physiological traits of Mediterranean durum cultivars. *Rachis* 16 (1/2) : 52-56.
- Kang, M. S. 1993.** Simultaneous selection for yield and stability in crop performance trials: Consequences for growers. *Agronomy Journal* 85: 754 – 757.
- Lin, C. S., and Binns, M. R. 1991.** Genetic properties of four types of stability parameters. *Theoretical and Applied Genetics* 82: 505-509.
- Najafian1, G., Kaffashi, A. K., and Jafar-Nezhad, A. 2010.** Analysis of grain yield stability in hexaploid wheat genotypes grown in temperate regions of Iran using additive main effects and multiplicative interaction. *Journal of Agricultural Science and Technology* 12: 213-222.
- Phoelman, J. M., and Sleper, D. A. 1996.** Breeding Field Crops (4th edition). Iowa State University Press, Ames, USA.
- Romagosa, I., and Fox, P. N. 1993.** Genotype \times environment interaction and adaptation. PP. 373-390. In: Hayward, M. D., Bosemark, N. O., and Romagosa, I. (eds.) *Plant Breeding: Principles and Prospects*. Chapman and Hall Press, London, UK.
- SAS Institute. 2000.** The SAS system for windows. Released 8.01, SAS Inst. Inc., Cary, NC.
- Seyedsadr, M. S., and Cornelius, P. L. 1992.** Shifted multiplicative model for non-additive two – way tables. *Comm. Stat. B. Simult. Comp.* 21: 807-822.

Shukla, G. K. 1972. Some statistical aspects of partitioning genotype-environment components of variability. Heredity 29 (2): 237-245.

Wricke, G. 1962. Über eine methode zur erfassung der ökologischen streubreite in feldversuchen. Zeitschrift für Pflanzenzüchtung. 47: 92–96.

Yan, R. C., Crossa, J., Cornelius, P. L., and Burgueno, J. 2009. Biplot analysis of genotype × environment interaction. Crop Science 49 (5): 1564-1576

Yates, F., and W.G. Cochran. 1983. The analysis of groups of experiments. Journal of Agricultural Science 28: 556-580.